

V-1 コンクリートの三軸圧縮強度

九州大学 工学部 正員 德光善治
学生員 松下博通

1. まえがき

コンクリートの強度は、一軸圧縮強度を基準として決定されていいる。この強度基準は、単純応力を受ける部材の設計に対しては妥当であるが、実際の構造物では、単純応力を受ける場合は希であり、その応力状態は複雑となり、この強度基準では不合理である。したがって、組合せ応力を受ける場合の強度基準をどのように決定すべきであるかを調べるため、圧縮領域における三軸圧縮試験を行なったので、ミニにその概要と報告する。

2. 試験概要

試験供試体は中 $10 \times 20 \text{ cm}$ 普通コンクリート供試体であり、コンクリートの配合は表-1に示す4種類とした。三軸圧縮試験機は、図-1に示すものであり、主応力表示 ($\sigma_1, \sigma_2, \sigma_3$) における $\sigma_1 > \sigma_2 = \sigma_3$ の条件下の破壊試験を行なうこととする。試験は、側圧力を $50 \sim 300 \text{ kg/cm}^2$ に変化させたときの破壊時の最大応力 σ_c を測定することにし、軸圧力の載荷速度は $3 \text{ kg/cm}^2/\text{sec}$ とした。試験時のコンクリートの材令は、17日および28日とし、コンクリートの配合の影響のはいかに材令による影響があるか否かも検討した。

3. 試験結果および考察

試験結果を表-2に示す。側圧力によって、破壊時の軸方向圧力は著しく増大し、その増加割合はコンクリートの配合強度や試験材令に関係なく、コンクリートの一軸圧縮強度 σ_c に対して、 $\sigma_1/\sigma_c = f(\sigma_3/\sigma_c)$ なる関係が成立するようである。図-2に σ_1/σ_c と σ_3/σ_c の関係をプロットして示した。両者の関係は、直線式よりむしろ曲線式であるがよりよくあり、2次放物線式あるいは指数関数式を仮定して、最小二乗法により求めると

表-1 コンクリートの配合およびスランプ値

配合の種類	配合強度 (kg/cm^2)	スランプの範囲 (cm)	水セメント比 (%)	細骨材率 (%)	単位強度 (kg/m^3)			打設時のスランプ (cm)	
					セメント	水 W	細骨材 G		
I	450	4±1	41	45	460	189	765	1080	2.2
II	350	4±1	50	45	380	190	796	1118	5.2
III	250	4±1	63	45	300	189	824	1162	2.6
IV	150	4±1	89	45	220	196	845	1192	3.1

表-2 三軸圧縮試験結果

配合の種類	試験材令 (日)	圧縮強度 (kg/cm^2)						
		0	25	50	100	150	200	250
I	7	359	427		626	297	797	992
	28				764	1030	1134	1440
II	28	317			511	693	869	1063
					479	629	759	889
III	28	231						1232
								1472
IV	7	74	123		272	390	526	
	28	136	363		467	623	779	

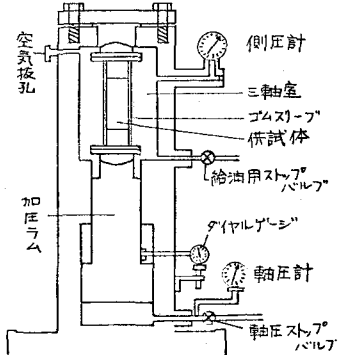


図-1 三軸圧縮試験機

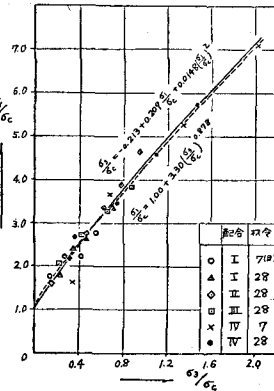


図-2 σ_1/σ_c と σ_3/σ_c の関係

$$\sigma_3/\sigma_c = -0.213 + 0.209 \sigma_1/\sigma_c + 0.0148 (\sigma_1/\sigma_c)^2$$

あるいは

$$\sigma_1/\sigma_c = 1.00 + 3.30 (\sigma_3/\sigma_c)^{0.878} \quad \dots \dots (2)$$

この両式の関係を図-2に示したが、実験結果とよく一致しており、また(1)式と(2)式も近似している。

破壊条件として Mohr の破壊説について検討してみる。Mohr の破壊説は、 σ_1 , σ_3 , それぞれ考える面に働く直応力とせん断応力とすると、 $f(\sigma_1, \sigma_3) = \text{一定}$ で表される。本実験では、 σ_1 と σ_3 が直線関係にはないため、破壊線である Mohr の包絡線も曲線式で表されるのが適当であり、また、 σ_1 と σ_3 の関係が、 σ_c で除されたものを除すことにより、無次元表示した関係が、実験値とよく一致したことから、実験定数 a , b , c を用いて $\sigma/\sigma_c = a + b(\tau/\sigma_c)^c$ で表されよう。Mohr の応力円の式より、両辺を σ_c で除し、 σ_1/σ_c を σ_3/σ_c で偏微分し、 σ/σ_c で表すことにより、図-3 の σ/σ_c が導かれ。同様にして、 τ/σ_c , $\tan\phi$ の式も導き、図-3 に示す。

σ/σ_c と τ/σ_c の関係は、 σ_1/σ_c と σ_3/σ_c の関係が求まることから、この関係式は求められるものであるが、非常に面倒な式となるので、 σ_1/σ_c を 0.5 ～ 7.0 まで 0.5ずつ変化させたときの σ_3/σ_c を、また $\tan\phi$ の値をそれぞれ(1)式を用いて算出し、その値より最小2乗法によって、両者の関係式を求めた。求めた Mohr の包絡線の実験式は次式の通りである。(図-4)

$$\sigma/\sigma_c = -0.203 + 1.266 (\tau/\sigma_c)^{1.27}$$

また、摩擦角 ϕ や摩擦係数 $\tan\phi$ は、(1)式を用いて、図-3 中の $\tan\phi$ の式によって算出される。側圧力によって、破壊時の軸方向圧力が増大するが、この軸方向圧力と一軸圧縮強度との比を横軸に、 ϕ と $\tan\phi$ を縦軸にとって両者の関係を図-5 に示す。包絡線の接線角が次第に減少していく傾向が明らかである。終りに、本実験に際し、九州大学工学部土木実験室の方々ならびに生産科研究所の方々に援助を受けました。御礼申し上げます。

参考文献：B. Brester and K. S. Pister : "Failure of Plain Concrete under Combined Stresses" Proc. of ASCE Vol. 81

伊藤茂樹他：“組合せ応力状態におけるコンクリートの強度について”建設省土木研究所報告 100号 7 (昭33年8月)

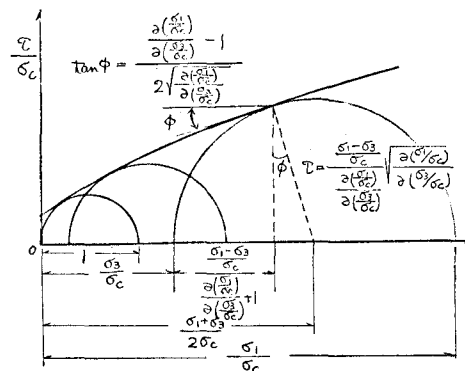


図-3

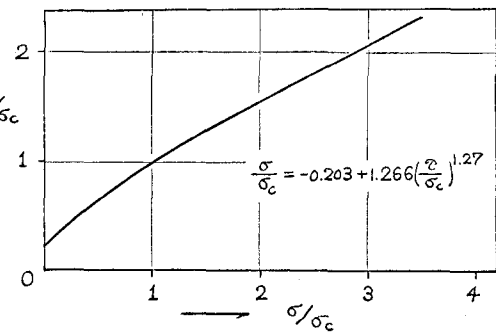


図-4. Mohr の破壊包絡線の実験式

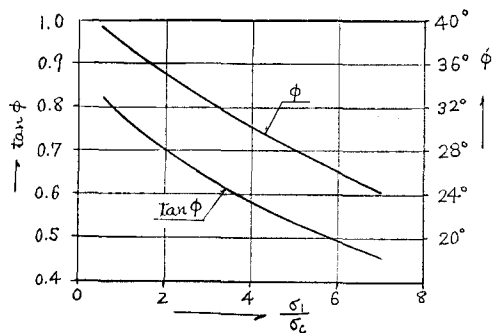


図-5 σ_1/σ_c の変化による ϕ と $\tan\phi$ の変化